

Starkniederschlagshöhen und -spenden gemäß KOSTRA-DWD-2010R

Auswertungszeitraum von 1951 - 2010, Januar - Dezember

Rasterfeld: 42034

Zeile: 42

Spalte: 34

Seite: 1/2

| Dauerstufe D | | Wiederkehrzeit T | | | | | | | | | | | | | | | | | |
|--------------|-----|------------------|------------|------|------------|------|------------|------|------------|------|------------|------|------------|-------|------------|-------|------------|-------|------------|
| | | 1 a | | 2 a | | 3 a | | 5 a | | 10 a | | 20 a | | 30 a | | 50 a | | 100 a | |
| min | Std | mm | l / (s ha) | mm | l / (s ha) | mm | l / (s ha) | mm | l / (s ha) | mm | l / (s ha) | mm | l / (s ha) | mm | l / (s ha) | mm | l / (s ha) | mm | l / (s ha) |
| 5 | | 5,0 | 166,7 | 6,8 | 226,7 | 7,8 | 260,0 | 9,2 | 306,7 | 11,0 | 366,7 | 12,8 | 426,7 | 13,8 | 460,0 | 15,1 | 503,3 | 16,9 | 563,3 |
| 10 | | 7,9 | 131,7 | 10,3 | 171,7 | 11,8 | 196,7 | 13,5 | 225,0 | 15,9 | 265,0 | 18,3 | 305,0 | 19,7 | 328,3 | 21,5 | 358,3 | 23,9 | 398,3 |
| 15 | | 9,9 | 110,0 | 12,7 | 141,1 | 14,4 | 160,0 | 16,5 | 183,3 | 19,4 | 215,6 | 22,2 | 246,7 | 23,9 | 265,6 | 26,0 | 288,9 | 28,8 | 320,0 |
| 20 | | 11,3 | 94,2 | 14,5 | 120,8 | 16,4 | 136,7 | 18,7 | 155,8 | 21,9 | 182,5 | 25,2 | 210,0 | 27,0 | 225,0 | 29,4 | 245,0 | 32,6 | 271,7 |
| 30 | | 13,1 | 72,8 | 16,9 | 93,9 | 19,2 | 106,7 | 22,0 | 122,2 | 25,8 | 143,3 | 29,6 | 164,4 | 31,8 | 176,7 | 34,6 | 192,2 | 38,4 | 213,3 |
| 45 | | 14,7 | 54,4 | 19,2 | 71,1 | 21,9 | 81,1 | 25,2 | 93,3 | 29,7 | 110,0 | 34,2 | 126,7 | 36,8 | 136,3 | 40,1 | 148,5 | 44,6 | 165,2 |
| 60 | | 15,7 | 43,6 | 20,8 | 57,8 | 23,7 | 65,8 | 27,5 | 76,4 | 32,6 | 90,6 | 37,6 | 104,4 | 40,6 | 112,8 | 44,3 | 123,1 | 49,4 | 137,2 |
| 90 | | 17,5 | 32,4 | 22,9 | 42,4 | 26,1 | 48,3 | 30,0 | 55,6 | 35,4 | 65,6 | 40,8 | 75,6 | 44,0 | 81,5 | 48,0 | 88,9 | 53,4 | 98,9 |
| 120 | 2 | 18,9 | 26,2 | 24,6 | 34,2 | 27,9 | 38,8 | 32,0 | 44,4 | 37,7 | 52,4 | 43,3 | 60,1 | 46,6 | 64,7 | 50,7 | 70,4 | 56,4 | 78,3 |
| 180 | 3 | 21,1 | 19,5 | 27,1 | 25,1 | 30,6 | 28,3 | 35,0 | 32,4 | 41,0 | 38,0 | 47,0 | 43,5 | 50,5 | 46,8 | 55,0 | 50,9 | 61,0 | 56,5 |
| 240 | 4 | 22,8 | 15,8 | 29,1 | 20,2 | 32,8 | 22,8 | 37,4 | 26,0 | 43,6 | 30,3 | 49,9 | 34,7 | 53,6 | 37,2 | 58,2 | 40,4 | 64,4 | 44,7 |
| 360 | 6 | 25,5 | 11,8 | 32,1 | 14,9 | 36,0 | 16,7 | 40,9 | 18,9 | 47,6 | 22,0 | 54,3 | 25,1 | 58,2 | 26,9 | 63,1 | 29,2 | 69,7 | 32,3 |
| 540 | 9 | 28,4 | 8,8 | 35,5 | 11,0 | 39,6 | 12,2 | 44,9 | 13,9 | 52,0 | 16,0 | 59,0 | 18,2 | 63,2 | 19,5 | 68,4 | 21,1 | 75,5 | 23,3 |
| 720 | 12 | 30,7 | 7,1 | 38,1 | 8,8 | 42,4 | 9,8 | 47,9 | 11,1 | 55,3 | 12,8 | 62,7 | 14,5 | 67,0 | 15,5 | 72,5 | 16,8 | 79,9 | 18,5 |
| 1080 | 18 | 34,2 | 5,3 | 42,1 | 6,5 | 46,7 | 7,2 | 52,5 | 8,1 | 60,4 | 9,3 | 68,3 | 10,5 | 72,9 | 11,3 | 78,7 | 12,1 | 86,6 | 13,4 |
| 1440 | 24 | 37,0 | 4,3 | 45,2 | 5,2 | 50,0 | 5,8 | 56,1 | 6,5 | 64,4 | 7,5 | 72,6 | 8,4 | 77,4 | 9,0 | 83,5 | 9,7 | 91,7 | 10,6 |
| 2880 | 48 | 43,3 | 2,5 | 53,1 | 3,1 | 58,8 | 3,4 | 66,1 | 3,8 | 75,9 | 4,4 | 85,7 | 5,0 | 91,4 | 5,3 | 98,6 | 5,7 | 108,4 | 6,3 |
| 4320 | 72 | 47,5 | 1,8 | 58,2 | 2,2 | 64,5 | 2,5 | 72,4 | 2,8 | 83,1 | 3,2 | 93,8 | 3,6 | 100,1 | 3,9 | 108,0 | 4,2 | 118,7 | 4,6 |

Angaben in mm: Bemessungsniederschlagswerte h(n)

Angaben in l / (s ha): Regenspende R(n) mit $R(n) = h(n) \times 1,666667 / D[\text{min}]$

Toleranzbereiche:

+/- 10 % für $1 \text{ a} \leq T \leq 5 \text{ a}$

+/- 15 % für $5 \text{ a} < T \leq 50 \text{ a}$

+/- 20 % für $50 \text{ a} < T \leq 100 \text{ a}$

Datenbasis: KOSTRA-DWD-2010R des Deutschen Wetterdienstes. Die Regenspende wurde auf Basis des Bemessungsniederschlags zur jeweiligen Andauer berechnet.

Für die Richtigkeit und Aktualität der Angaben wird keine Gewähr übernommen. Erstellt 07/2022.

Starkniederschlagshöhen und -spenden gemäß KOSTRA-DWD-2010R

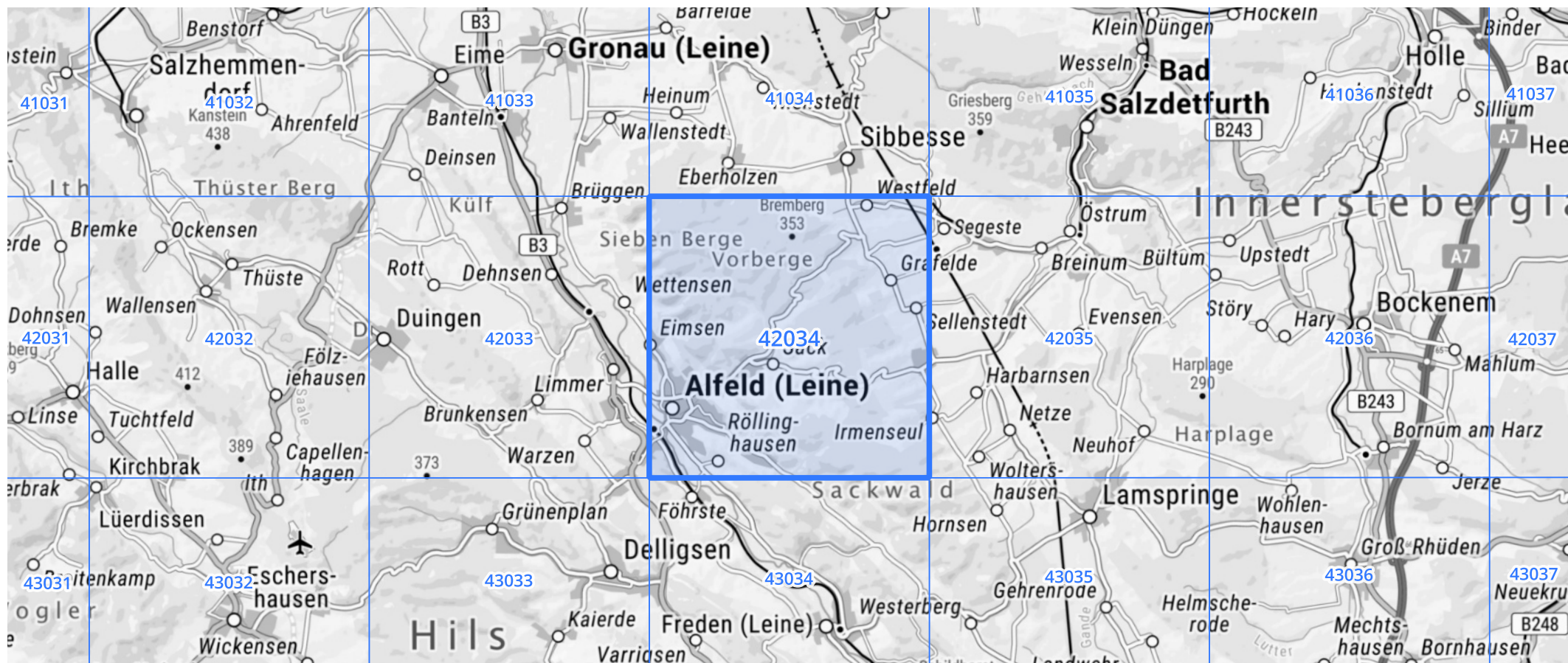
Auswertungszeitraum von 1951 - 2010, Januar - Dezember

Rasterfeld: 42034

Zeile: 42

Spalte: 34

Seite: 2/2



Quelle Rasterdaten: KOSTRA-DWD-2010R des Deutschen Wetterdienstes.

Kartendarstellung: © Bundesamt für Kartographie und Geodäsie (2022), Datenquellen: https://sgx.geodatenzentrum.de/web_public/gdz/datenquellen/Datenquellen_TopPlusOpen.html

Für die Richtigkeit und Aktualität der Angaben wird keine Gewähr übernommen. Erstellt 07/2022.